

I-B224 面内分布曲げ荷重を受ける片持ち長方形板の振動、座屈および動的安定

長崎大学大学院 学生員 ○中澤聰志
 長崎大学大学院 学生員 呉 明強
 長崎大学工学部 フェロー 高橋和雄

1. まえがき

一般に、プレートガーダー橋のように、はりに面内曲げ荷重が作用する場合、横倒れ座屈が生じることが知られている。はりの長さが短い場合や高さが高い場合には平板としての取り扱いが必要であるが、これまで平板として取り扱った研究は少ない。そこで、本研究では面内分布曲げ荷重を受ける片持ち長方形板の振動、座屈および動的安定を明らかにするものである。解法として、振動および座屈解析にはRayleigh-Ritz法により解析を行い、動的安定解析はHamiltonの原理を用いて動的安定問題の運動方程式を誘導し、行列の固有値問題に変換した解析を行う。数値解析において等分布荷重と三角形分布荷重を受ける片持ち長方形板の振動、座屈および動的安定を縦横比などのパラメーターのもとに明らかにする。

2. 解法

(1) 振動および座屈解析 静的分布荷重 $p_0(x)$ による面内力 N_x, N_y および N_{xy} を受ける場合の長方形板の自由振動を考える(図-1)。ひずみエネルギー V 、面内力のなす仕事によるエネルギー U および運動エネルギー T は次のように与えられる。

$$\left. \begin{aligned} V(w) &= \frac{1}{2} D \iint_A \left\{ \left(\nabla^2 w \right)^2 - 2(1-\nu) \left[\frac{\partial^2 w}{\partial x^2} \frac{\partial^2 w}{\partial y^2} - \left(\frac{\partial^2 w}{\partial x \partial y} \right)^2 \right] \right\} dx dy \\ U(w) &= \frac{1}{2} \iint_A \left[N_x \left(\frac{\partial w}{\partial x} \right)^2 + N_y \left(\frac{\partial w}{\partial y} \right)^2 + 2N_{xy} \left(\frac{\partial w}{\partial x} \right) \left(\frac{\partial w}{\partial y} \right) \right] dx dy \\ T(w) &= \frac{\rho}{2} h \iint_A \left(\frac{\partial w}{\partial t} \right)^2 dx dy \end{aligned} \right\} \quad (1)$$

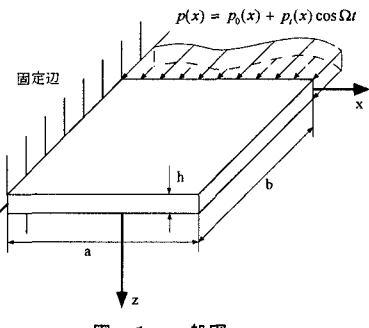


図-1 一般図

ここに、 $D = Eh^3/12(1-\nu^2)$: 板剛度、 E : ヤング率、 ν : ポアソン比、 h : 板厚、 ρ : 板の密度、
 w : たわみ、 t : 時間、 a, b : 辺長。

たわみの一般解を式(2)のように仮定して、全ポテンシャルエネルギー($\Pi = V + U - T$)にRayleigh-Ritz法を適用し、行列表示すると式(3)のようになる。

$$w = \sum_m \sum_n A_{mn} h_m(\xi) \bar{h}_n(\eta) \exp(i\omega t) \quad (2) \quad \{ [E] - \lambda_v^4 [F] + \lambda_b \bar{p}_0 [G] \} \{ X \} = \{ 0 \} \quad (3)$$

ここに、 A_{mn} : 未定係数、 $h_m(\xi)$: 片持ちばりの固有振動形、 $\bar{h}_n(\eta)$: 両端自由ばりの固有振動形、
 $\xi = x/a$ 、 $\eta = y/b$ 、 ω : 固有円振動数、 λ_v : 振動固有値、 λ_b : 座屈固有値、 $\bar{p}_0 = p_0/p_{cr}$ 、
 $[E], [F], [G]$: 係数行列、 $\{X\} = \{A_{11}, A_{12}, \dots, A_{NN}\}^T$ 。

式(3)で $\lambda_b = 0$ とすれば、面内力が作用しない場合の自由振動の固有値 λ_v が得られ、また、慣性項を無視すれば、座屈固有値 λ_b ($\bar{p}_0 = 1.0$ のとき)が得られる。

(2) 動的安定解析 静的分布荷重 $p_0(x)$ および周期的変動荷重 $p_i(x) \cos \Omega t$ が作用する場合を考え、たわみを次のように仮定する。

$$w = \sum_m \sum_n T_{mn}(t) W_{mn}(\xi, \eta) \quad (4)$$

キーワード：動的安定、片持ち板、振動、座屈

〒852 長崎市文教町1-14 長崎大学工学部社会開発工学科 TEL 0958-48-9639 FAX 0958-48-9639

ここに, $T_{mn}(t)$: 未知の時間関数, $W_{mn}(\xi, \eta)$: 片持ち長方形板の固有振動形。

Hamilton の原理を適用し, 一般座標に関する運動方程式を誘導して行列表示し, さらに, 線形減衰力を考慮すれば, 次のように Mathieu の方程式で表わされる。

$$[I]\{\ddot{T}\} + [H]\{\dot{T}\} + [F]\{T\} + (\bar{p}_0 + \bar{p}_1 \cos \bar{\omega} t)[G]\{T\} = \{0\} \quad (5)$$

ここに, $[I]$: 単位行列, $[H]$: 対角化された減衰行列, $[F]$: 固有振動数の自乗が対角に並んだ対角行列,

$[G]$: 係数励振行列, $\bar{p}_1 = p_1 / p_{cr}$, $\bar{\omega} = \Omega / \omega_{11}$: 無次元励振振動数, $t = \omega_{11} t$: 無次元時間, ω_{11} : 最低次の固有振動数。

式(5)の一般解をフーリエ級数を使って仮定し, 調和バランス法により2倍サイズの固有値問題に変換して, 系の安定性を評価する。

3. 板に作用する面内力

図-1に示すような片持ち長方形板に作用する面内分布曲げ荷重として, 本研究では次の2ケースを考える。各ケースの面内力 N_x , N_y および N_{xy} を求めると次式の結果となる。

CASE 1 等分布荷重 $p = p_0 + p_1 \cos \Omega t$

$$\left. \begin{aligned} N_x &= ph \left[-6(a-x)^2 \frac{(y-\beta/2)}{b^3} + \frac{b^2}{5} \left(\frac{20(y-\beta/2)^3}{b^5} - \frac{3(y-\beta/2)}{b^3} \right) \right] \\ N_y &= -2ph \left[\frac{(y-\beta/2)^2}{b^3} - \frac{3(y-\beta/2)}{4b} + \frac{1}{4} \right] \\ N_{xy} &= -2ph(a-x) \left[\frac{3(y-\beta/2)^2}{b^3} - \frac{3}{4b} \right] \end{aligned} \right\} \quad (6)$$

CASE 2 三角形分布荷重

$$q(x) = p(1-x/a)$$

$$\left. \begin{aligned} N_x &= ph \left[\frac{2(a-x)^3(b/2-y)}{b^3} - \frac{4(a-x)(b/2-y)^3}{b^3} + \frac{3(a-x)(b/2-y)}{5b} \right] \\ N_y &= ph \left[-\frac{3(a-x)(b/2-y)}{2b} + \frac{2(a-x)(b/2-y)^3}{b^3} - \frac{(a-x)}{2} \right] \\ N_{xy} &= ph \left[\frac{3(a-x)^2}{4b} - \frac{3(a-x)^2(b/2-y)^2}{b^3} + \frac{b}{80} + \frac{(b/2-y)^4}{b^3} + \frac{3(b/2-y)}{10b} \right] \end{aligned} \right\} \quad (7)$$

4. 解析結果

(1) 座屈特性 縦横比が大きくなるにしたがって, 座屈固有値は小さくなる。図-2に示すような座屈モードが得られる。載荷の影響により, モードの対称性がなくなり, 両端自由方向の座屈波形は荷重が載荷している側が大きい。

(2) 振動特性 固有振動数は静的分布荷重の増加に伴って減少する。さらに, 次数が小さいほど著しく減少する傾向があり, 1次固有振動数は座屈荷重 $\bar{p}_0 = 1$ で 0 になる。

(3) 動的不安定領域 CASE 1, 2とも係数励振行列 $[G]$ には 0 要素がなく, 単純共振に加えてすべての振動モードの組合せによる結合共振の不安定領域が存在しうる。図-3に示すように, 動的不安定領域には単純共振 ω_j と結合共振 $\omega_j + \omega_{mn}$ の不安定領域が数多く存在する。また, 静的荷重が作用すると, 低次振動数側に不安定領域が移動し, 不安定領域の種類が多くなり, また不安定領域の幅が広くなる。動的安定解析の精度を確かめるため, Runge-Kutta-Gill 法による数値シミュレーションを行ったところ, 動的安定解析による動的不安定領域の幅が一致する。このことから, 動的安定解析の精度は十分である。

5. まとめ

本研究は, 2 ケースの面内分布曲げ荷重を受ける片持ち長方形板の振動, 座屈および動的安定の解析を行い, それらの特性を明らかにしたものである。自由端に集中荷重が作用する場合の結果との比較は講演時に発表する。

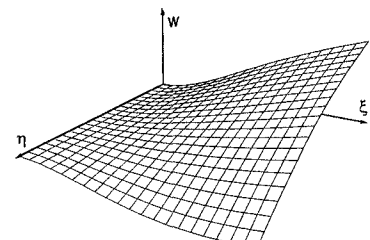


図-2 座屈モード (CASE 1, $\beta = 1.0$)

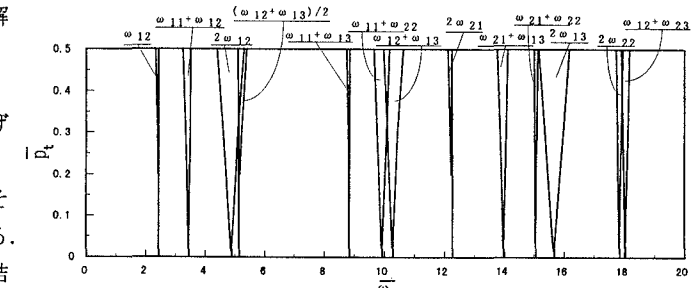


図-3 不安定領域 (CASE 1, $\beta = 1.0$, $\bar{p}_0 = 0.0$, $h_0 = 0.0$)